

Website

Examen ID 1008 - New exam title

Patient
test test brucare

Contacts

Patient ID
0005

Sexe
Homme

date de naissance
07/05/2022

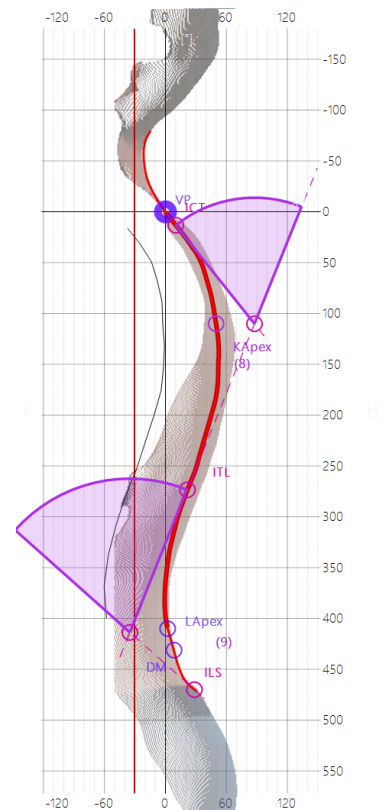
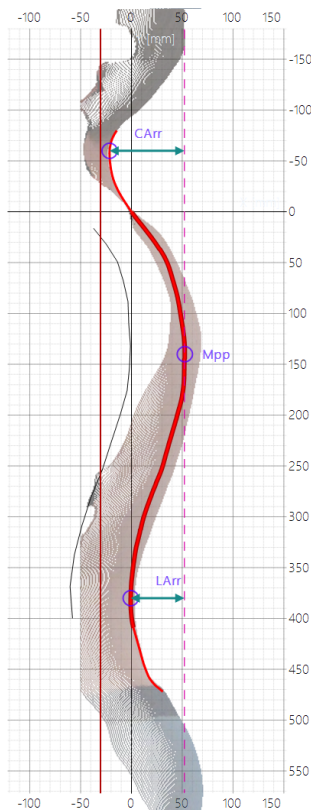
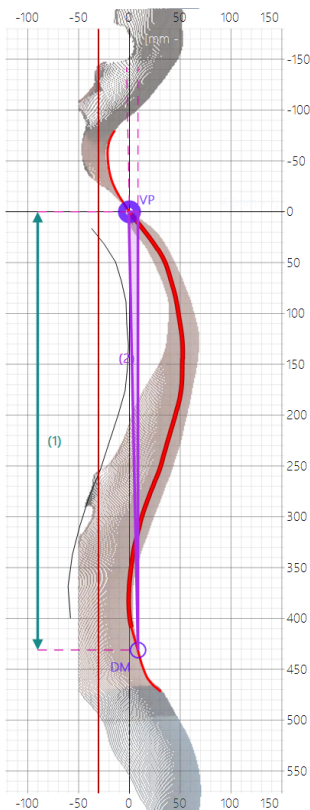
Date de l'examen
07/05/2026

Taille
172 cm

Poids
65 kg



ID	Paramètres	Paramètres	V.Normalité
1	*Hauteur du tronc VPDM	431 mm	[470 mm, 530 mm]
2	Inclinaison de la colonne vertébrale VPDM	1,1 °	[-5,0 °, 5,0 °]
7	*Flèche lombaire LArr	53 mm	[31 mm, 48 mm]
6	*Flèche cervicale CArr	74 mm	[47 mm, 60 mm]
8	Angle de la cyphose ICT ITL	60,6 °	[41,0 °, 54,0 °]
9	Angle de la lordose ITL ILS	70,4 °	[26,0 °, 42,0 °]



Website

Examen ID 1008 - New exam title

Patient
test test brucare

Patient ID
0005

date de naissance
07/05/2022

Taille
172 cm

Contacts

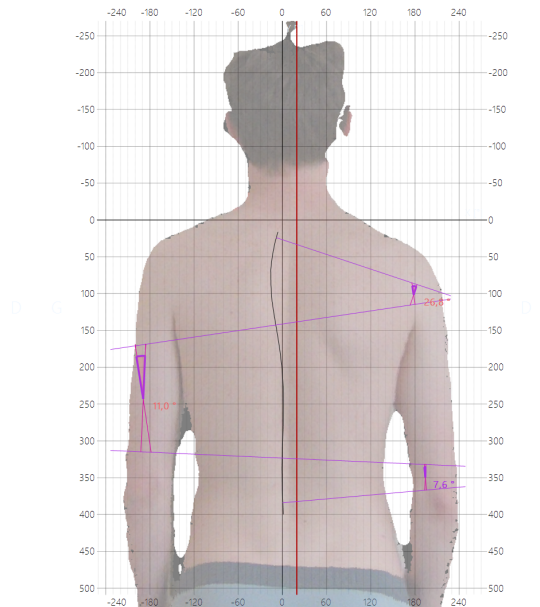
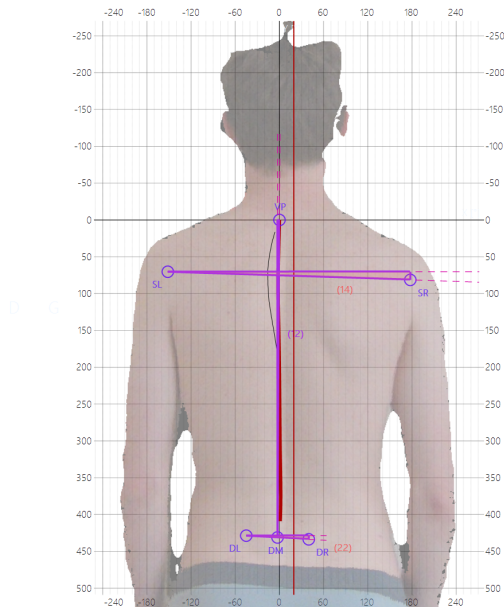
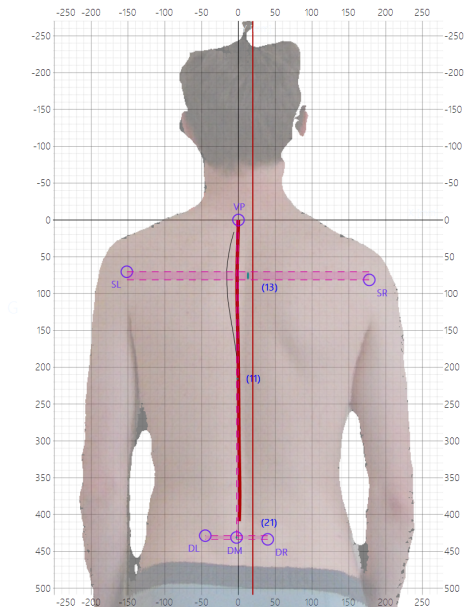
Sexe
Homme

Date de l'examen
07/05/2026

Poids
65 kg



ID	Paramètres	Paramètres	V.Normalité
11	*Déséquilibre coronal VPDM	3 mm	[-7 mm, 7 mm]
13	*Obliquité de l'épaule SLSR	-11 mm	[-13 mm, 13 mm]
21	*Obliquité pelvienne DLDR	-5 mm	[-5 mm, 5 mm]
12	Déséquilibre du tronc VPDM	-0,4 °	[-1,0 °, 1,0 °]
14	Inclinaison des épaules SLSR	-1,9 °	[-2,0 °, 2,0 °]
22	Inclinaison pelvienne DLDR	-3,4 °	[-2,0 °, 2,0 °]
27	*Angle de la courbure [T2 - T8] Toracique	26,8 °	[0,0 °, 10,0 °]
27	*Angle de la courbure [T8 - L3] Vertèbres lombaires	11,0 °	[0,0 °, 10,0 °]
27	*Angle de la courbure [L2 - L4] Lominaire	7,6 °	[0,0 °, 10,0 °]



Website

Examen ID 1008 - New exam title

Patient
test test brucare

Patient ID
0005

date de naissance
07/05/2022

Taille
172 cm

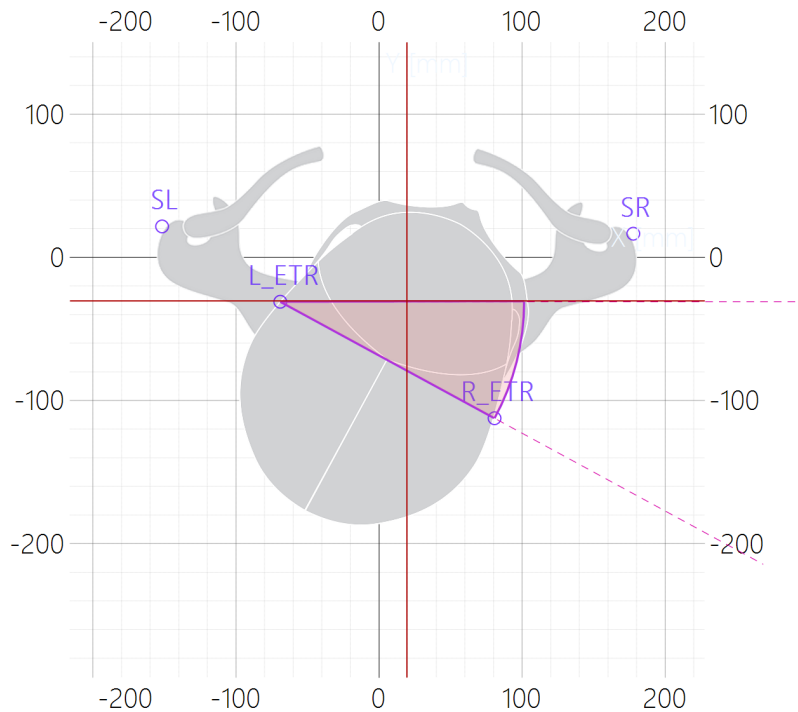
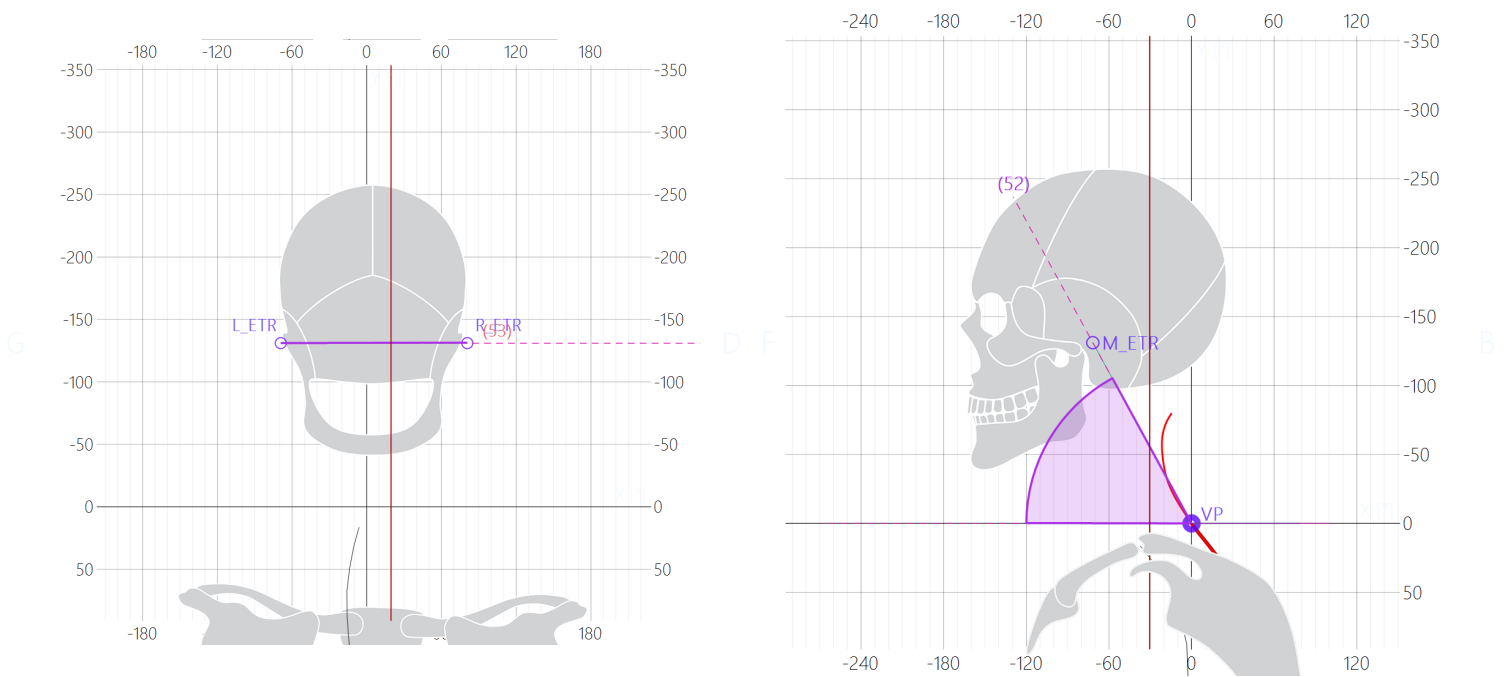
Contacts

Sexe
Homme

Date de l'examen
07/05/2026

Poids
65 kg

ID	Paramètres	Paramètres	V.Normalité
53	Inclinaison latérale de la tête	0,0 °	
52	Angle cranio-vertébral	61,3 °	
54	Rotation de la tête	-28,5 °	

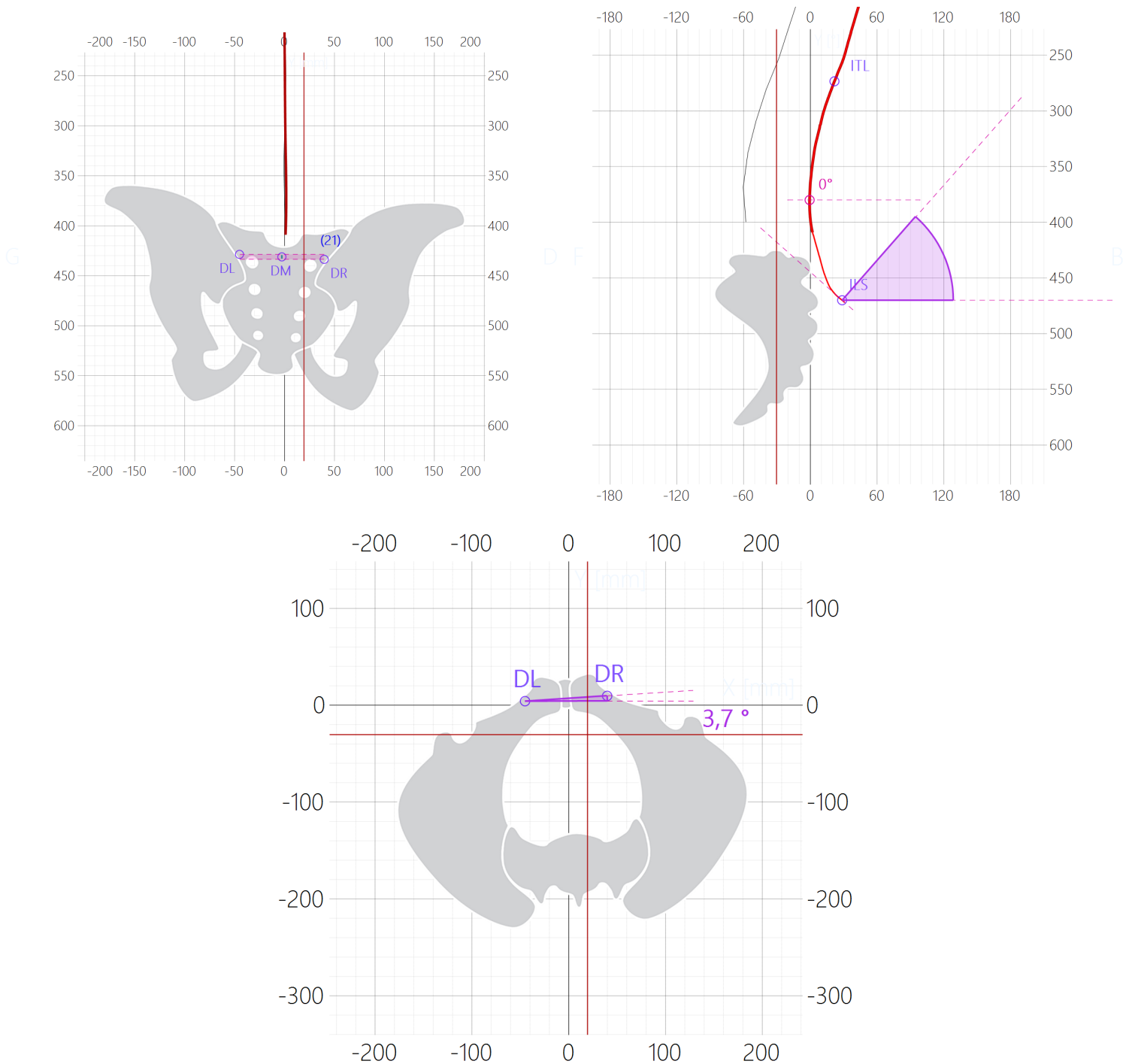


Website

Examen ID 1008 - New exam title

Patient test test brucare	Patient ID 0005	date de naissance 07/05/2022	Taille 172 cm
Contacts	Sexe Homme	Date de l'examen 07/05/2026	Poids 65 kg

ID	Paramètres	Paramètres	V.Normalité
21	*Obliquité pelvienne DLDR	-5 mm	[-5 mm, 5 mm]
26	Angle d'inclinaison du tronc ILS	48,5 °	
24	Torsion pelvienne DLDR	3,7 °	[-2,0 °, 2,0 °]

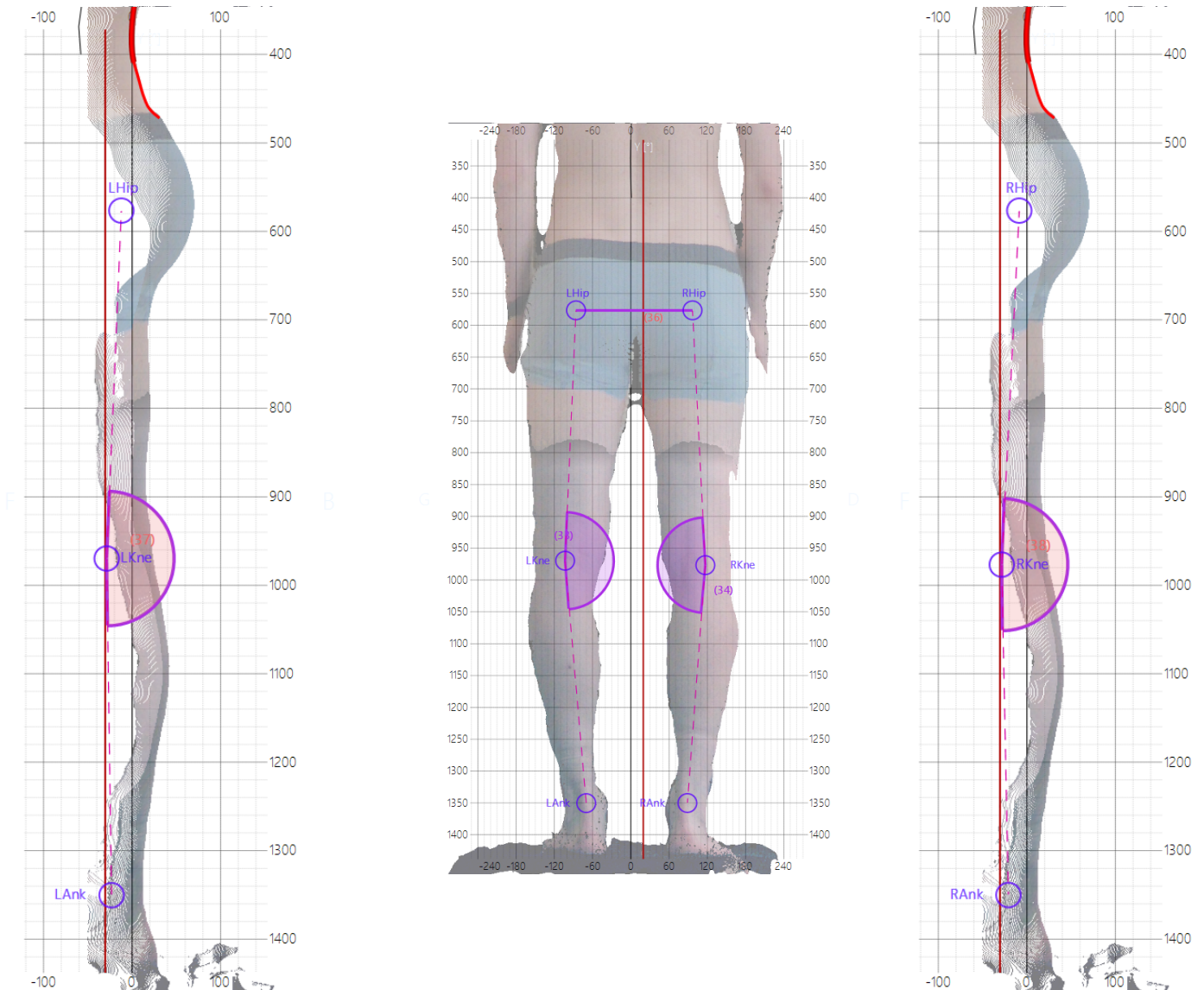


Website

Examen ID 1008 - New exam title

Patient test test brucare	Patient ID 0005	date de naissance 07/05/2022	Taille 172 cm
Contacts	Sexe Homme	Date de l'examen 07/05/2026	Poids 65 kg

ID	Paramètres	Paramètres	V.Normalité
37	LB Angle sagittal du genou gauche	176,8 °	
36	LB Inclinaison de la hanche	0,0 °	
33	LB Angle coronal du genou gauche	-172,5 °	
34	LB Angle coronal du genou droit	-172,8 °	
38	LB Angle sagittal du genou droit	176,0 °	



Website

Examen ID 1008 - New exam title

Patient test test brucare	Patient ID 0005	date de naissance 07/05/2022	Taille 172 cm
Contacts	Sexe Homme	Date de l'examen 07/05/2026	Poids 65 kg

Rapport

Examen de la colonne vertébrale du patient test test brucare. Le patient a 4 ans, 172 cm et pèse 65 kg.

Les épaules semblent symétriques avec une inclinaison de $-1,9^\circ$ entre les points détectés de l'épaule gauche SL et de l'épaule droite SR, une obliquité de -11 mm et une torsion de $-0,9^\circ$ sur l'axe vertical.

La mesure prise de la vertèbre proéminente VP au point médian entre les fossettes sacrées DM, a détecté une longueur totale du tronc de 431 mm, montrant une inclinaison antéro-postérieure de $1,1^\circ$ et un déséquilibre dorso-latéral de $-0,4^\circ$. Il existe un déséquilibre coronal neutre de 3 mm.

L'angle cyphotique détecté de $60,6^\circ$ semble extrêmement plus large que la normale, comme l'angle lordotique de $70,4^\circ$.

La flèche cervicale de 74 mm et la flèche lombaire de 53 mm sont toutes deux avancées par rapport à la norme.

Dans la région pelvienne, les fossettes sacrées DL et DR semblent avoir une obliquité naturelle de -5 mm, avec une inclinaison de $-3,4^\circ$. La torsion pelvienne de $3,7^\circ$ est légèrement supérieure à la norme.

Website

Examen ID 1008 - New exam title

Patient
test test brucare

Patient ID
0005

date de naissance
07/05/2022

Taille
172 cm

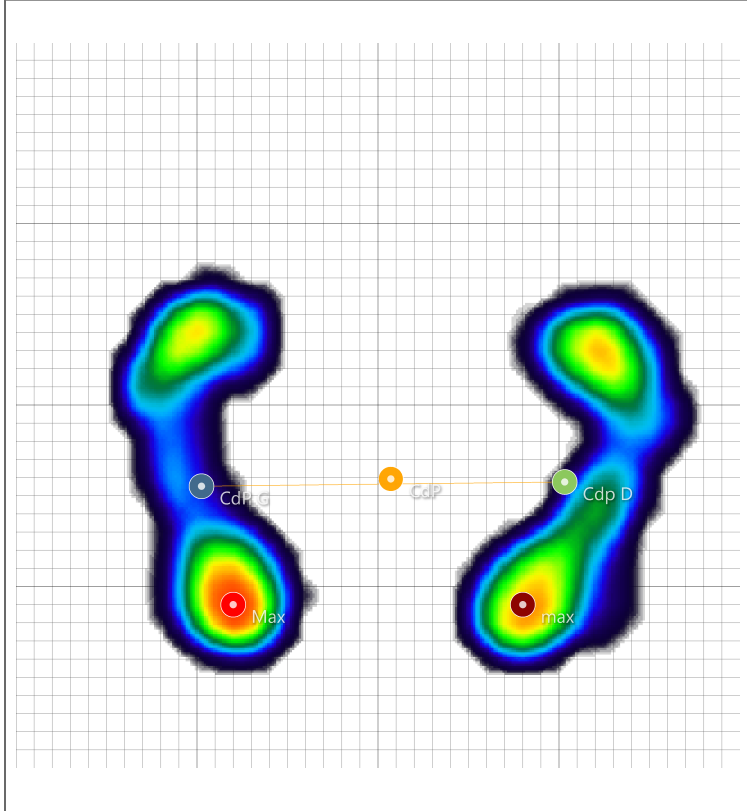
Contacts

Sexe
Homme

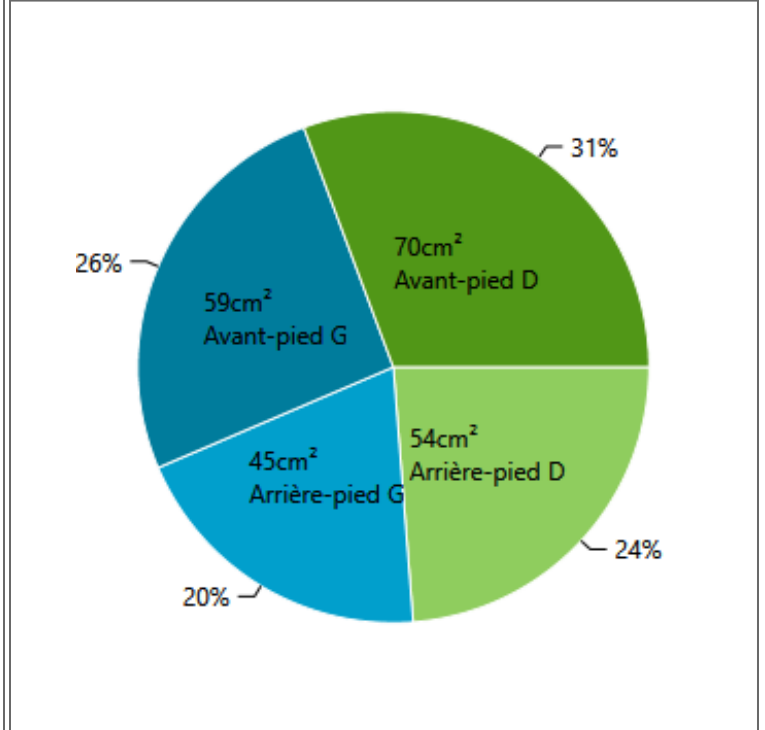
Date de l'examen
07/05/2026

Poids
65 kg

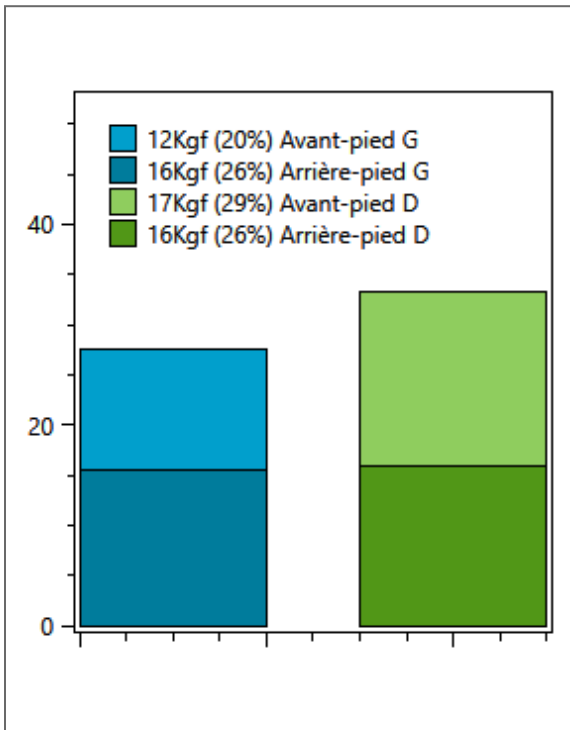
Rapport



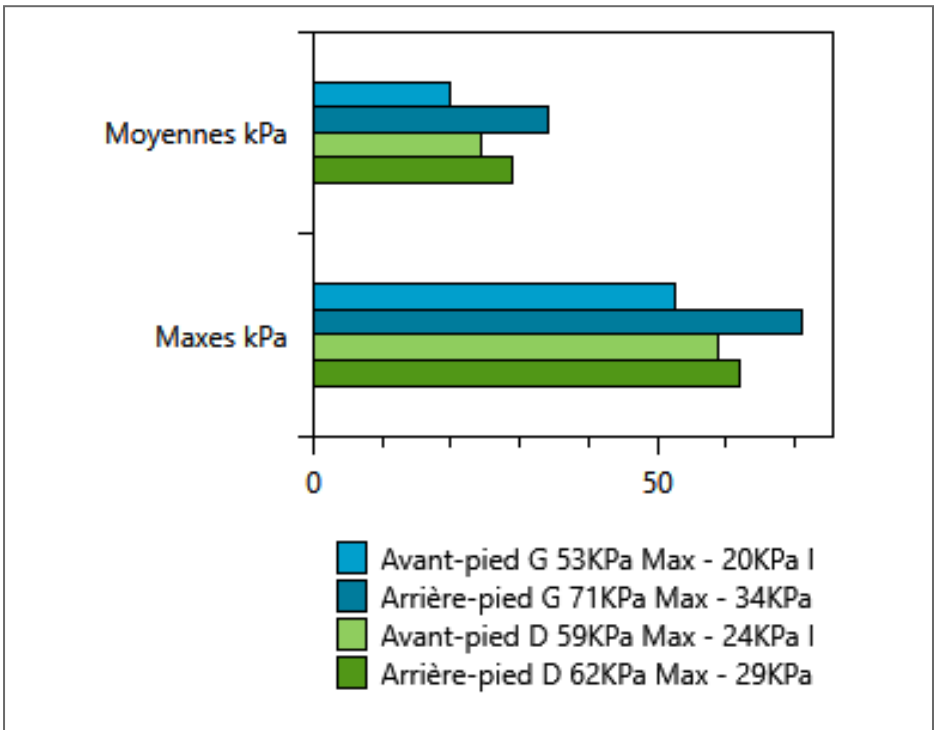
Répartition des surfaces

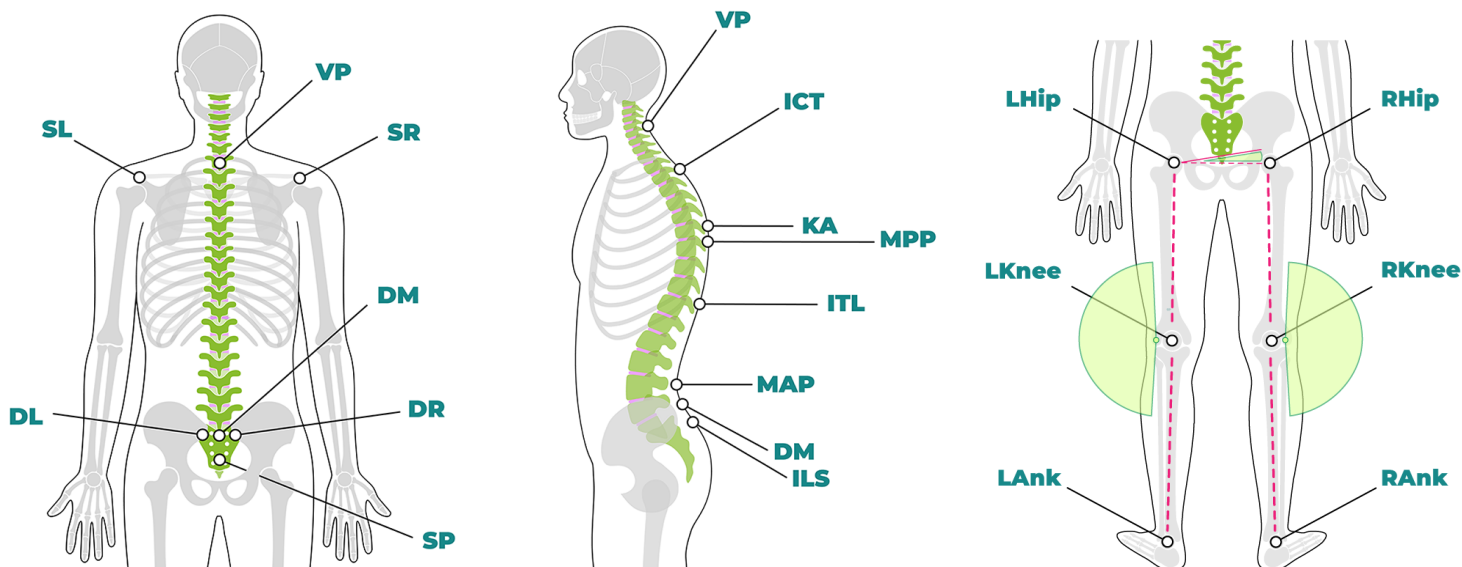


Répartition de la charge



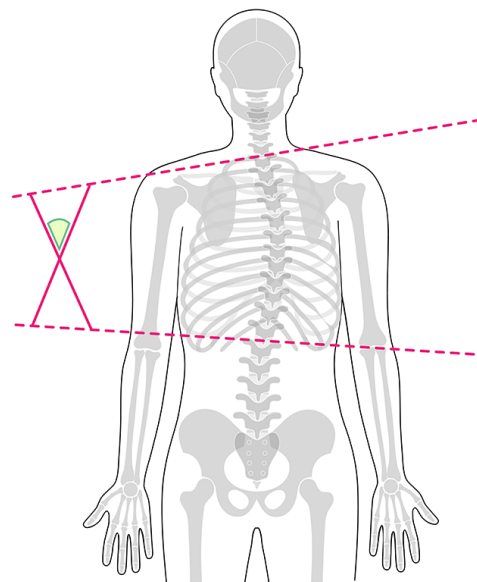
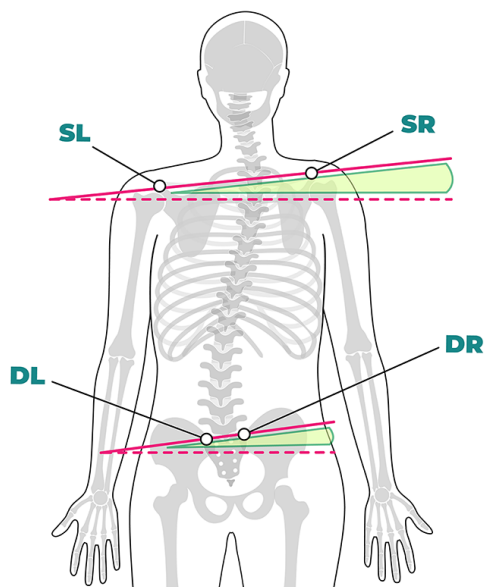
Pression moyenne et maximale





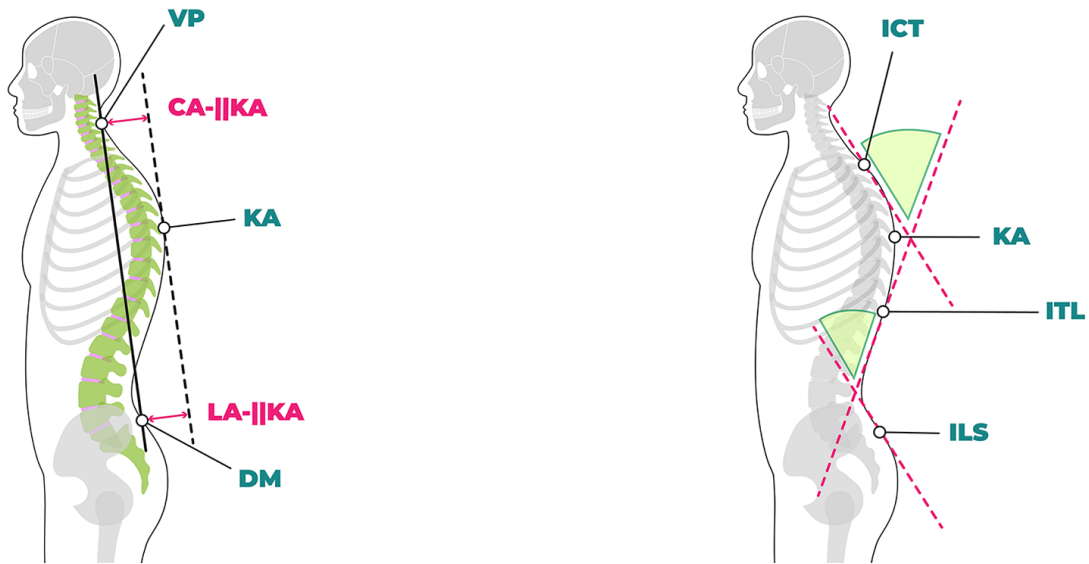
Glossaire

VP	Vertèbre Proéminente	LA	Apex lombaire
DL	Fossette gauche	CArr	Flèche cervicale
DR	Fossette droite	LArr	Flèche lombaire
DM	Point médian entre DL et DR	LHIP	Hanche gauche
SP	Point sacré	RHIP	Hanche droite
KApex	Apex kyphotique ICT-ITL	LKNE	Genou gauche
LApex	Apex lordotique ITL-ILS	RKNE	Genou droit
ICT	Charnière cervico-thoracique	LANK	Cheville gauche
ITL	Charnière thoracolombaire	RANK	Cheville droite
ILS	Charnière lombo-sacrée	CarrVP	Flèche cervicale VP
SL	Acromion gauche	V_T12	T12
SR	Acromion droit	KApex VPT12	Apex kyphotique VP-T12
Mpp	Point le plus postérieur	LApexT 12DM	Apex lordotique T12-DM
Map	Point le plus antérieur	C1	C1
CLDP	Point de profondeur de la lordose cervicale	L_ETR	Tragus de l'oreille gauche
LLDP	Point de profondeur de la lordose lombaire	R_ETR	Tragus de l'oreille droite
CA	Apex cervical	M_ETR	Point médian entre L_ETR et R_ETR



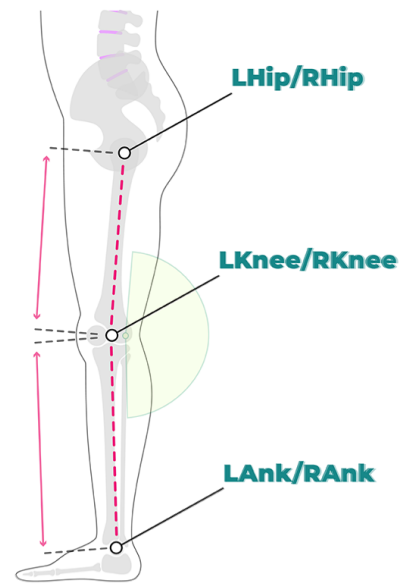
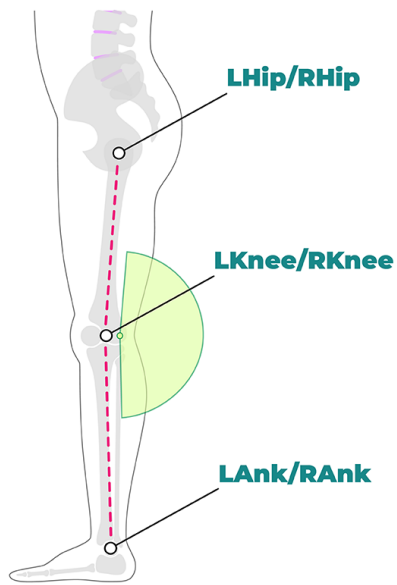
Paramètres coronaux

Hauteur du tronc VPDM	Longueur du segment de connexion entre VP et DM
Déséquilibre coronal VPDM	Distance entre DM et la verticale passant par VP
Déséquilibre du tronc VPDM	L'angle entre l'union de VP et DM et l'axe vertical
Obliquité de l'épaule SLSR	Distance entre l'axe horizontal passant par SL et l'axe horizontal passant par SR
Inclinaison des épaules SLSR	L'angle entre SL et SR dans le plan coronal
Déviations vertébrales RMS	Dans le plan coronal, moyenne quadratique de la déviation latérale horizontale du centre des corps vertébraux par rapport à la ligne de jonction entre VP et DM
Déviations vertébrales max gauche (-)	Convexité à gauche
Déviations vertébrales max droite (+)	Convexité à droite
Surface de rotation RMS	Moyenne quadratique des angles entre la droite passant par le centre de la vertèbre et le sommet de l'apophyse épineuse correspondante, et la perpendiculaire au plan coronal
Surface maximale de rotation à gauche (-)	L'angle le plus à gauche de la courbe de rotation de la surface
Surface maximale de rotation à droite (+)	L'angle le plus à droite de la courbe de rotation de la surface
Obliquité pelvienne DLDR	Distance entre l'axe horizontal passant par DL et l'axe horizontal passant par DR
Inclinaison pelvienne DLDR	L'angle entre DL et DR dans le plan coronal
Angle de la courbure	L'angle entre les deux tangentes du plateau vertébral supérieur de la vertèbre supérieure et du plateau vertébral inférieur de la vertèbre inférieure, dans une courbe structurale de la colonne vertébrale
Longueur de la colonne vertébrale VPSP	Longueur du segment reliant VP et SP
Longueur de la colonne vertébrale en 3D VPSP	longueur en 3D de la courbe vertébrale entre VP et SP, affichée en vue coronale.
Rapport VPSP 3D/2D pour la colonne vertébrale	Distance VP-SP en ligne droite divisée par la longueur de la courbe vertébrale VP-SP 3D, exprimée en pourcentage.
Inclinaison latérale de la tête	Angle d'inclinaison latérale de la tête dans le plan coronal, calculé comme l'angle entre la ligne reliant les attaches du lobe de l'oreille gauche et droite et la ligne reliant les processus de l'acromion gauche et droit.



Paramètres sagittaux

Hauteur du tronc VPDM	Longueur du segment de connexion entre VP et DM
Inclinaison de la colonne vertébrale VPDM	Angle entre la droite passant par VP-DM et le plan vertical
Déséquilibre sagittal VPDM	Distance horizontale, selon le plan sagittal, entre VP et la verticale passant par DM
Profondeur de la lordose cervicale CA- KA	Distance entre CA (apex cervical) et la tangente à KA (apex cyphotique) qui est parallèle à la ligne VPDM
Lordose lombaire LA- KA	Distance entre LA (apex lombaire) et la tangente à KA (apex cyphotique) qui est parallèle à la ligne VPDM
Flèche cervicale CArr	Distance sagittale entre le point le plus bas du rachis cervical et le fil à plomb vertical virtuel
Flèche lombaire LArr	Distance sagittale entre le point le plus bas de la colonne lombaire et le fil à plomb vertical virtuel
Angle de la cyphose ICT ITL	Angle supérieur formé par les tangentes de surface en ICT et ITL
Angle de la lordose ITL ILS	Angle supérieur formé par les tangentes à la surface en ITL et ILS
Angle d'inclinaison du tronc ITL	L'angle d'inclinaison du tronc au point d'inversion thoraco-lombaire ITL
Angle d'inclinaison du tronc ILS	L'angle d'inclinaison du tronc au point d'inversion lombo-sacrée ILS
Flèche cervicale CArrVP	Distance sagittale entre le point VP de la colonne cervicale et le fil à plomb vertical virtuel
Longueur de la colonne vertébrale VPSP	Longueur du segment reliant VP et SP
Angle kyphotique VP T12	Angle supérieur formé par les tangentes à la surface en VP et T12
Angle lordotique T12 DM	Angle supérieur formé par les tangentes à la surface en T12 et DM
Longueur de la colonne vertébrale en 3D VPSP	longueur 3D de la courbe vertébrale entre VP et SP, calculée le long de la ligne médiane finale 3D de la colonne vertébrale.
Rapport 3D / VPSP pour la colonne vertébrale	Distance VP-SP en ligne droite divisée par la longueur de la courbe vertébrale 3D (VP-SP), exprimée en pourcentage.
Angle cranio-vertébral	Angle cranio-vertébral estimé dans le plan sagittal : angle entre la ligne reliant l'attache du lobe de l'oreille (utilisée comme approximation du tragus) et C7, et la ligne de référence crânienne passant par le même point du lobe de l'oreille.



Corps inférieur

LB Angle coronal du genou gauche	Left knee angle on the coronal plane formed by the LHip-LKnee-LAnk points
LB Angle coronal du genou droit	Right knee angle on the coronal plane formed by the RHip-RKnee-RAnk points
LB Obliquité de la hanche	Angle entre LHip et RHip dans le plan coronal
LB Inclinaison de la hanche	Distance entre LHip et RHip dans le plan coronal
Longueur de la cuisse gauche en coronale LB	Longueur du segment de la cuisse gauche, mesurée de l'articulation de la hanche à l'articulation du genou.
Longueur de la cuisse droite en coronale LB	Longueur du segment droit de la cuisse, mesurée de l'articulation de la hanche à l'articulation du genou.
Longueur du segment gauche du tibia en coronale LB	Longueur du segment gauche du tibia, mesurée de l'articulation du genou à l'articulation de la cheville.
Longueur du segment droit du tibia en coronale LB	Longueur du segment droit du tibia, mesurée de l'articulation du genou à l'articulation de la cheville.